

FIG. 1A
(Prior Art)

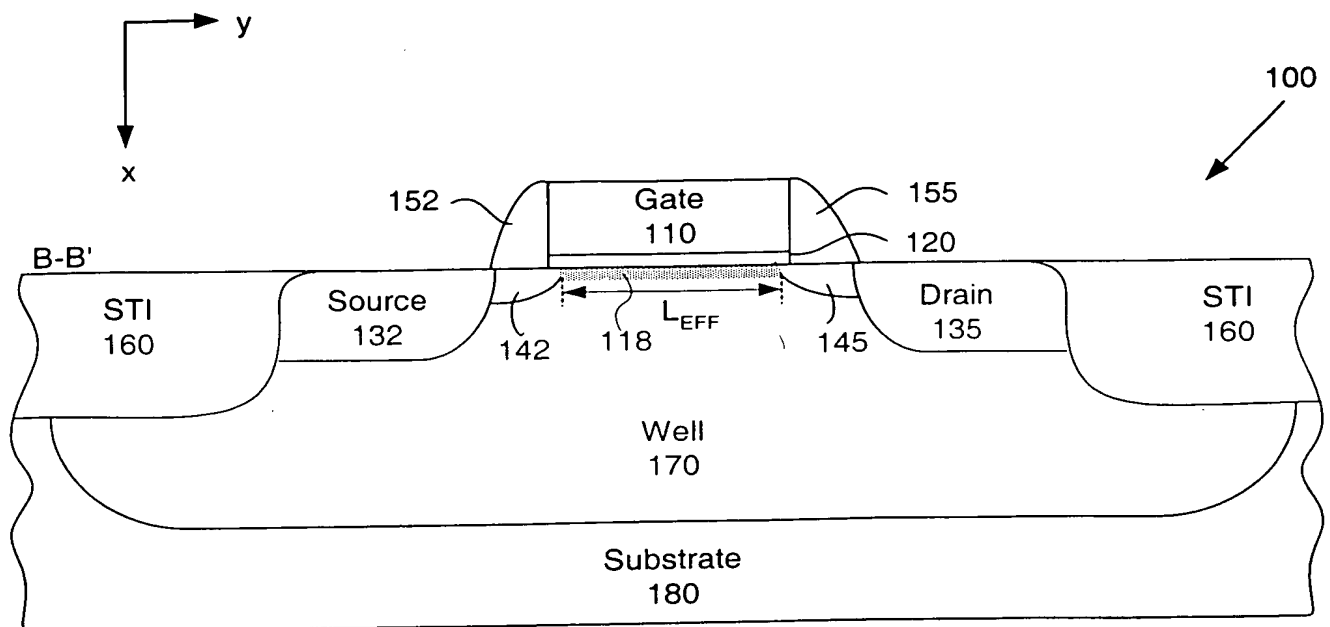


FIG. 1B
(Prior Art)

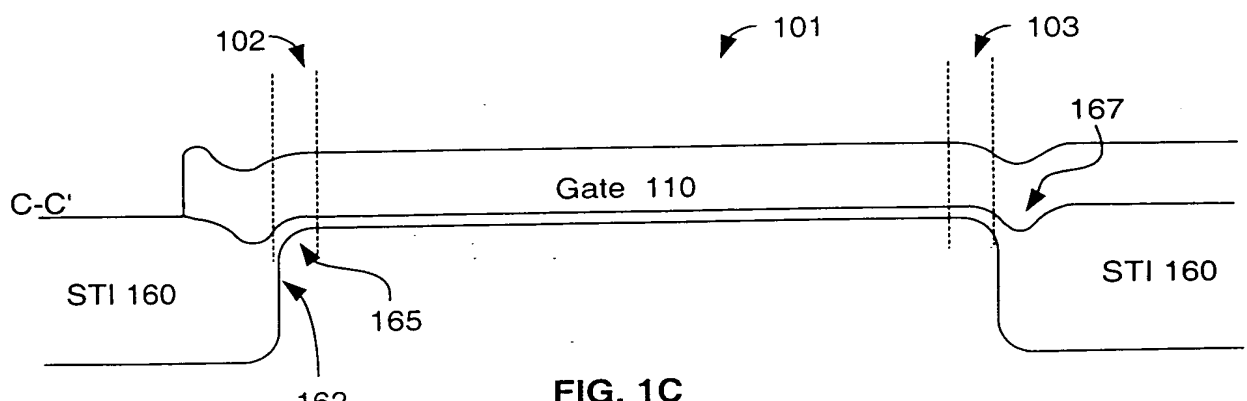


FIG. 1C
(Prior Art)

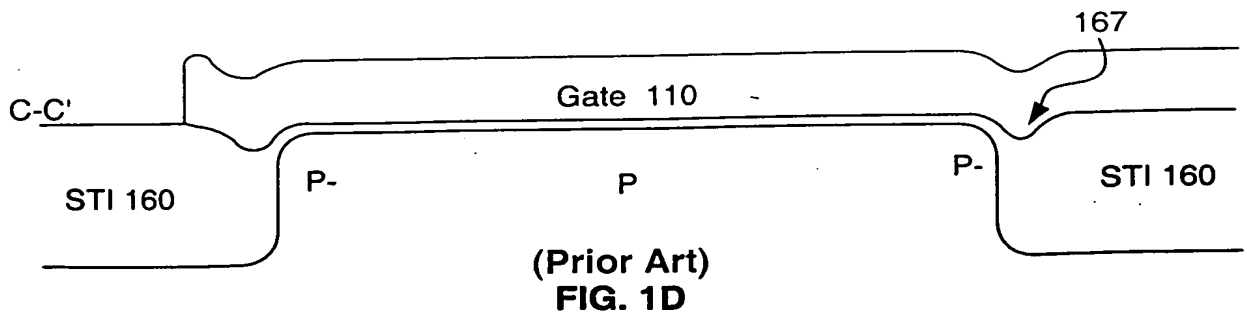


FIG. 1D
(Prior Art)

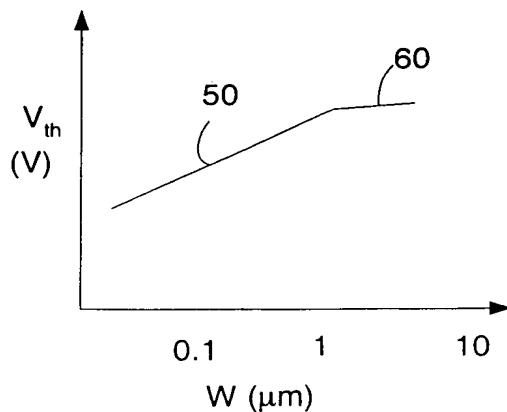


FIG. 2A
(Prior Art)

V_{th} (V)										
W	10	5	1	0.8	0.6	0.4	0.3	0.2	0.18	0.15
0.15LV	0.34	0.34	0.32	0.31	0.29	0.27	0.26	0.24	0.23	
0.13	0.35	0.35	0.35	0.35	0.35	0.34	0.315	0.28		0.24

FIG. 2B

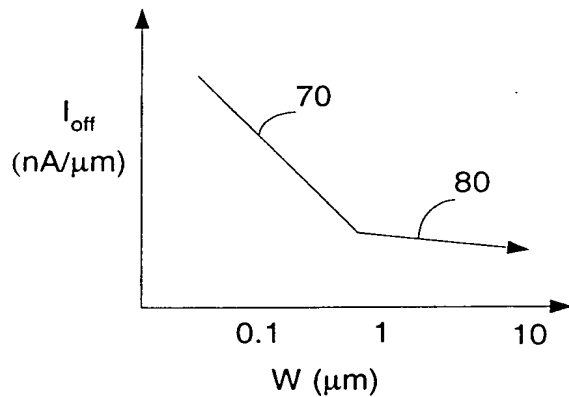


FIG. 2C
(Prior Art)

I_{offn} ($\text{nA}/\mu\text{m}$)										
W	10	5	1	0.8	0.6	0.4	0.3	0.2	0.18	0.15
0.15LV	0.308	0.346	0.75	0.9125	1.2667	1.625	1.8667	2.9	3.5	
0.13 μ	0.259	0.268	0.32	0.3125	0.2833	0.45	0.7667	2.2		6.6667

FIG. 2D

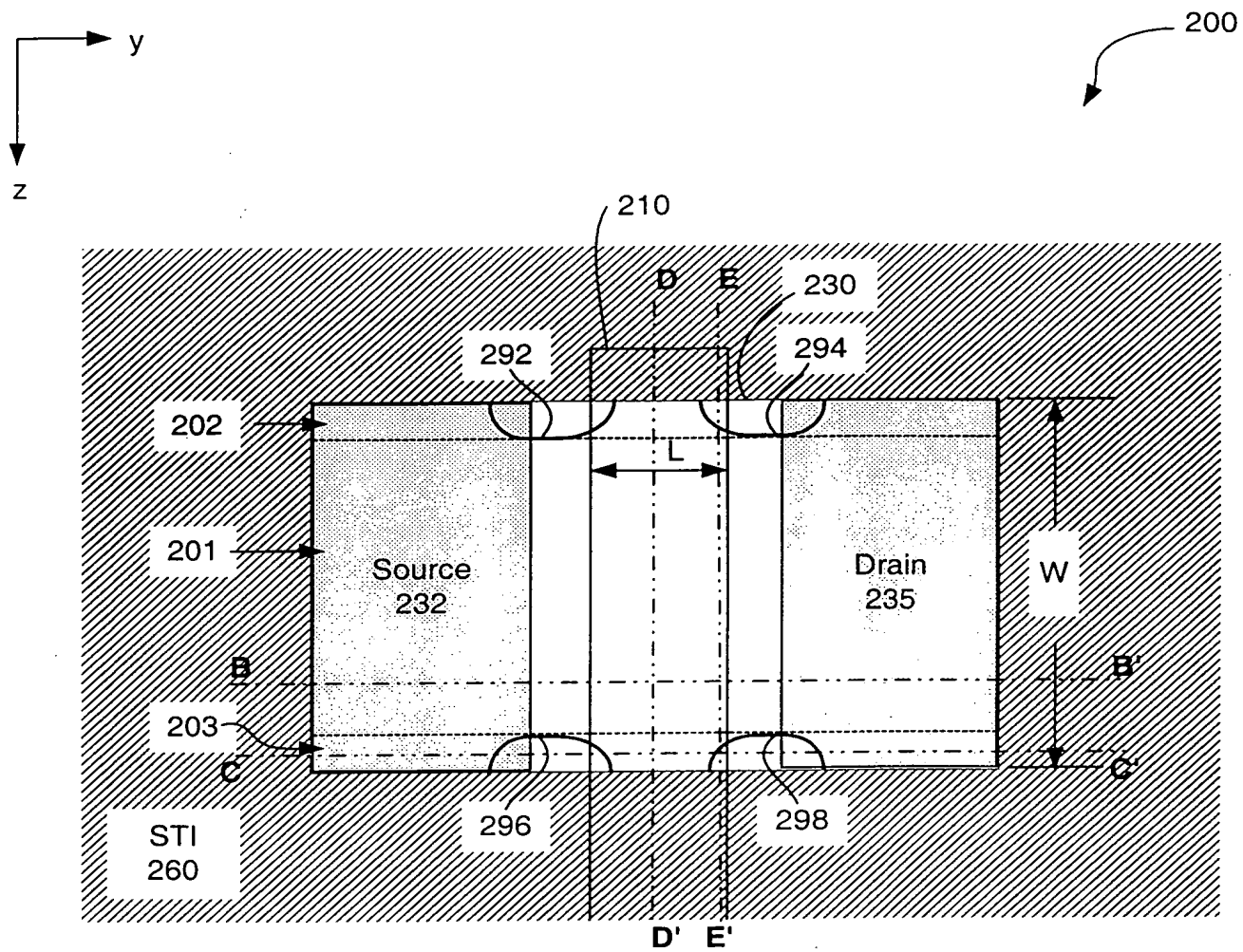


FIG. 3A

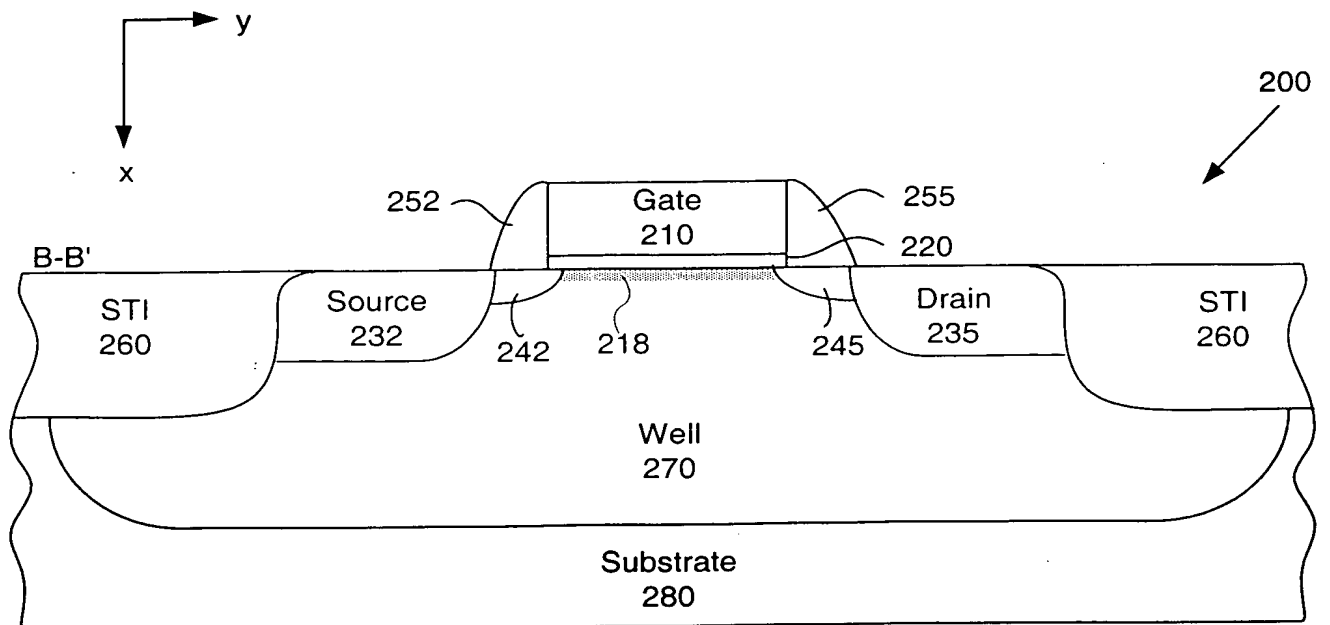


FIG. 3B

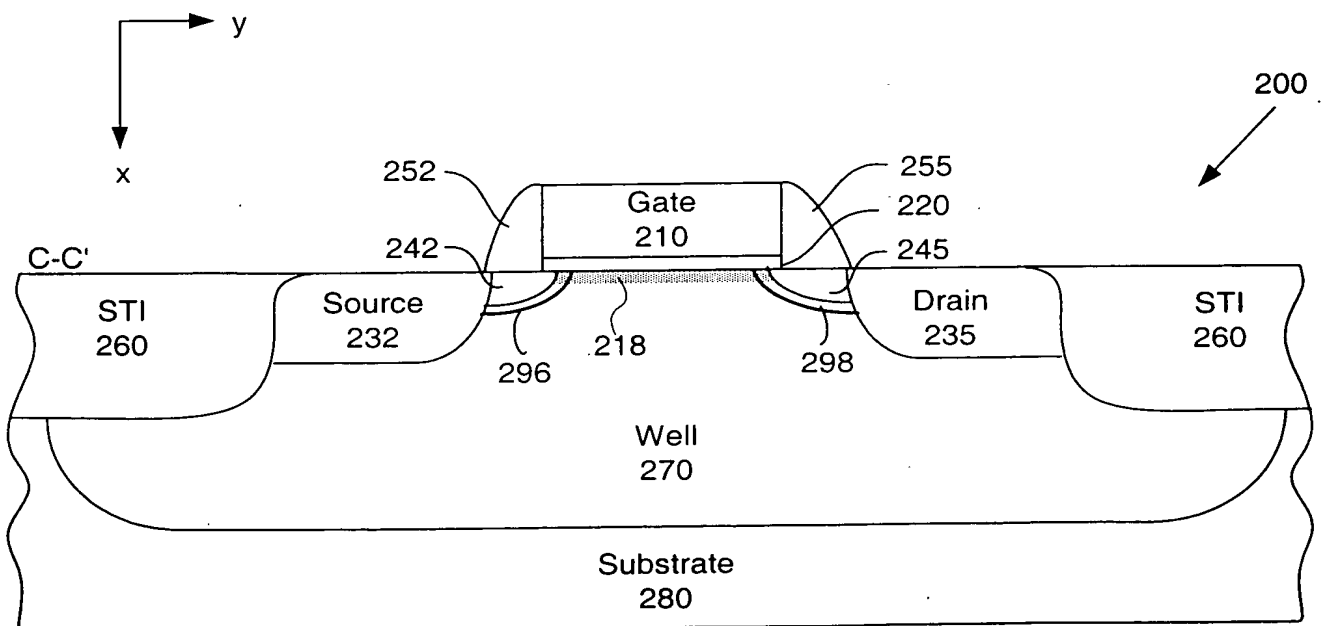


FIG. 3C

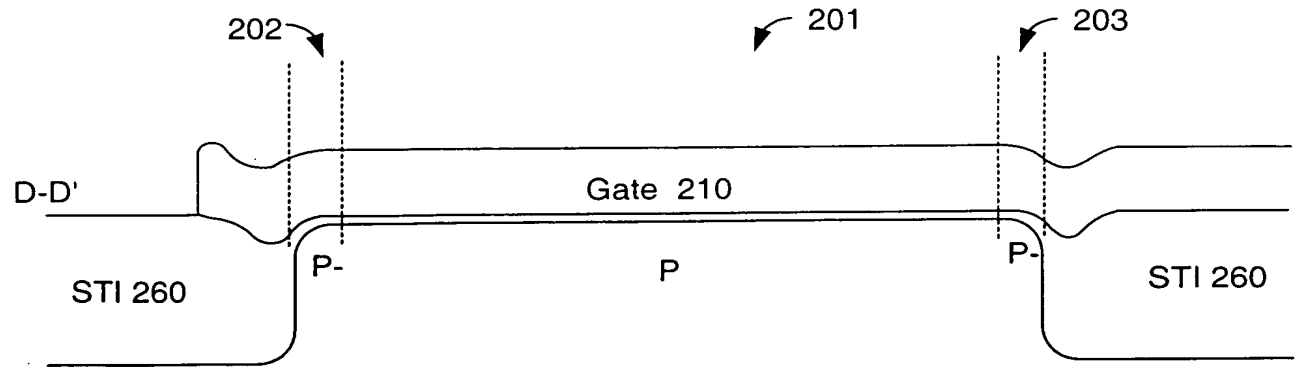


FIG. 3D

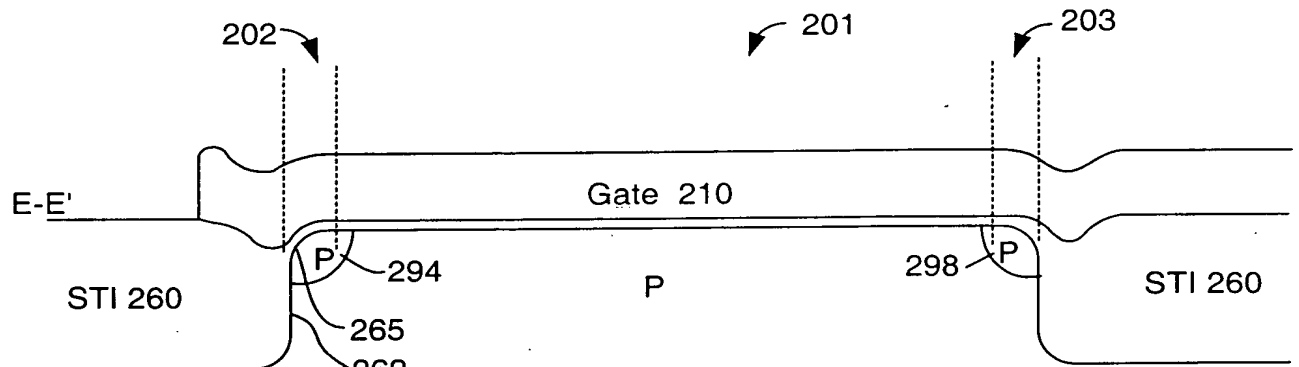


FIG. 3E

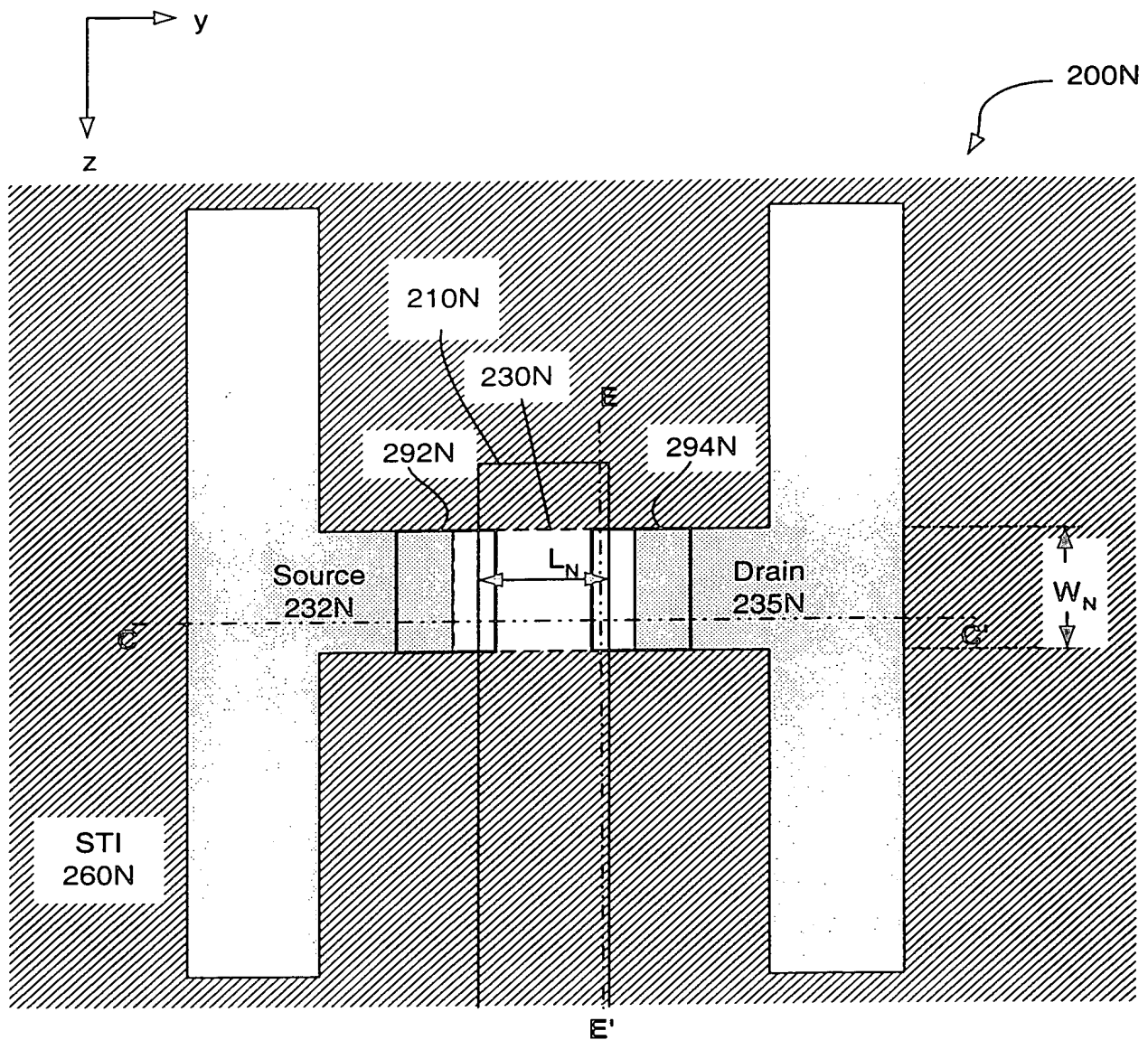


FIG. 3F

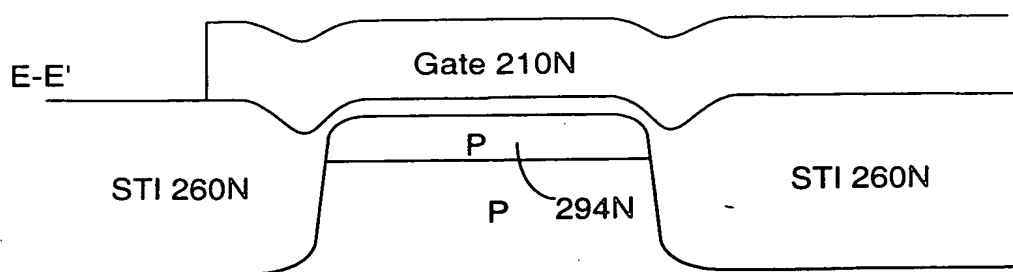


FIG. 3G

300

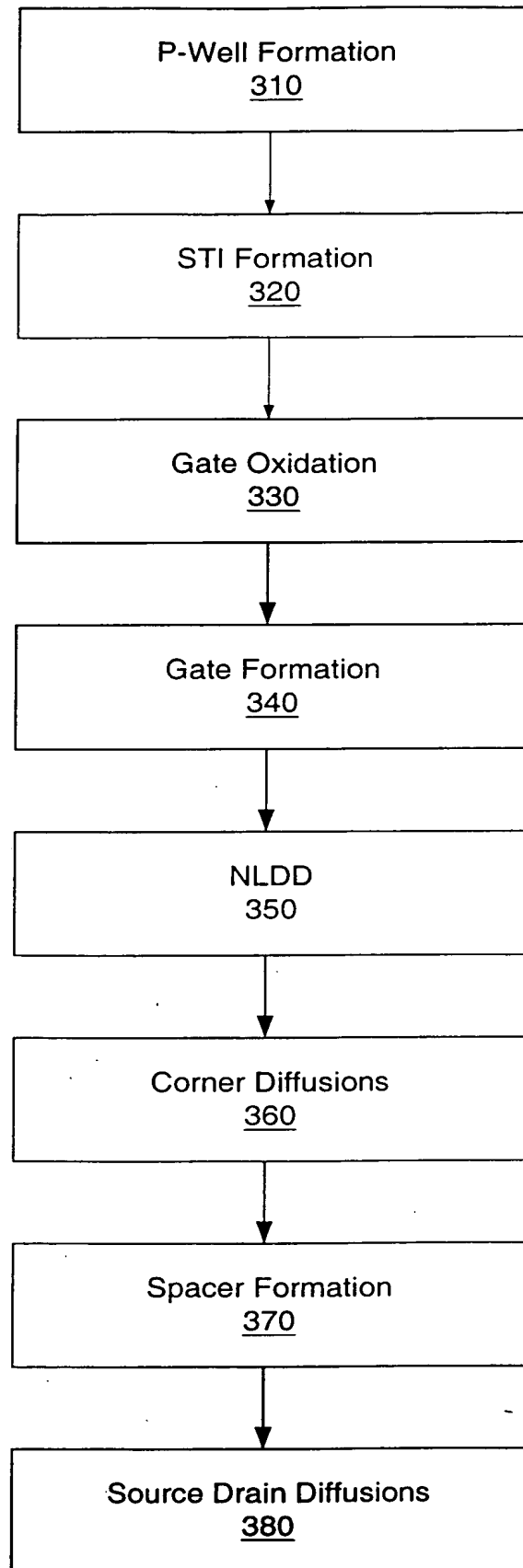


FIG. 4A

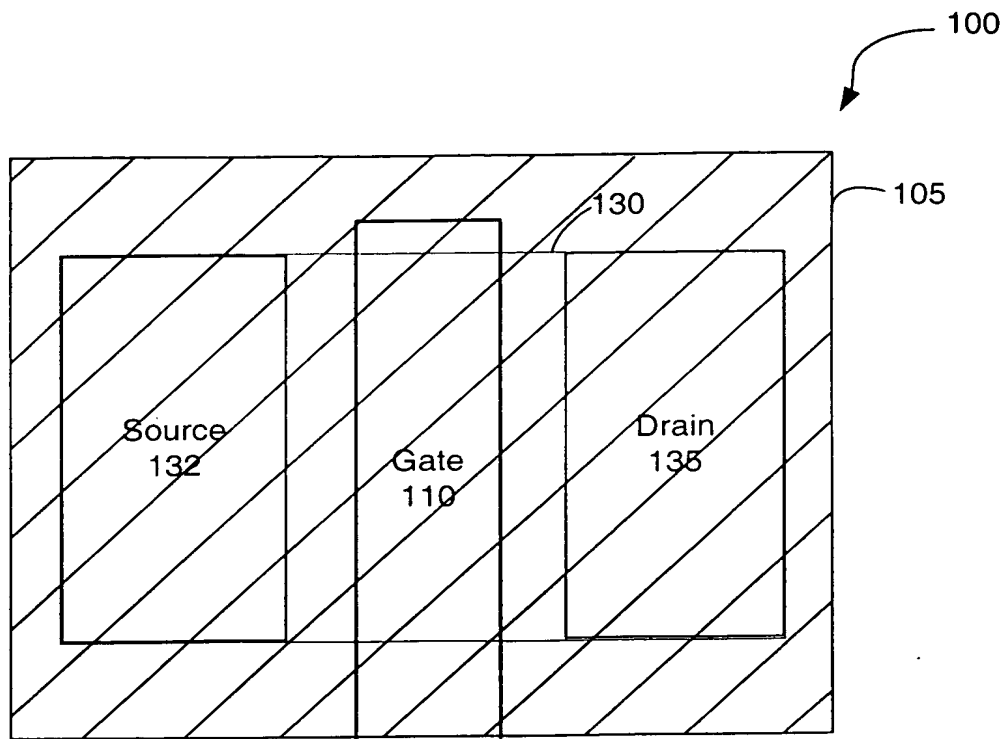


FIG. 4B
(Prior Art)

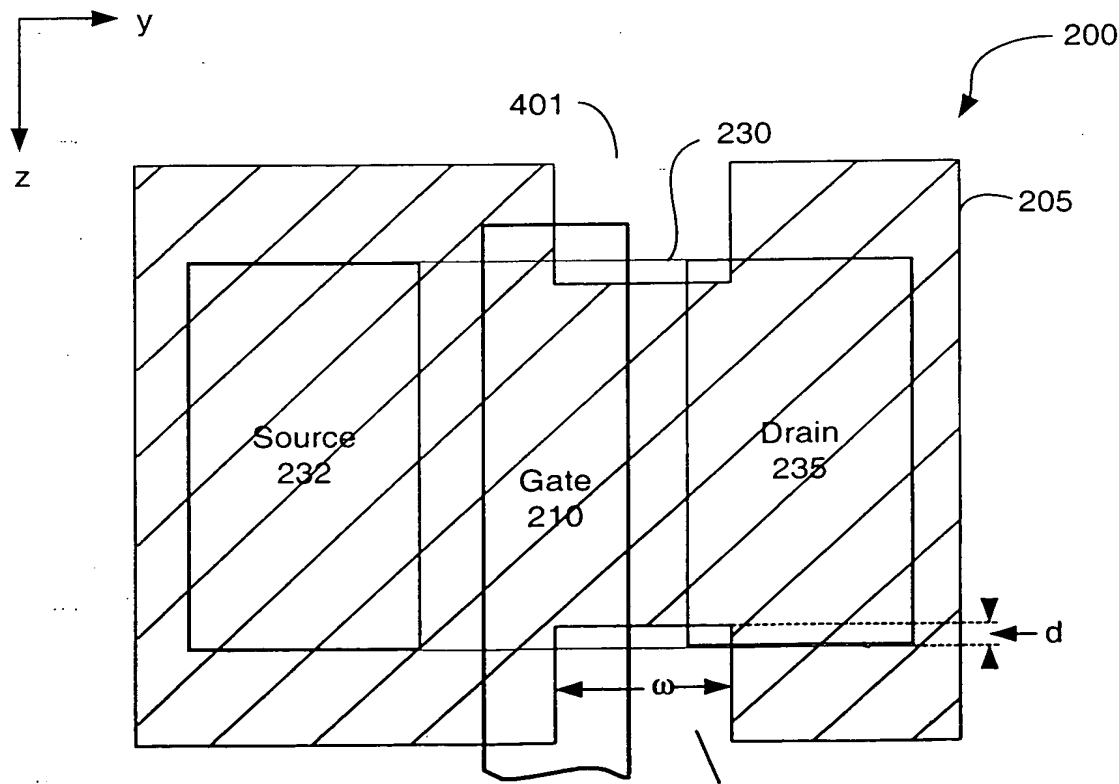


FIG. 4C 402

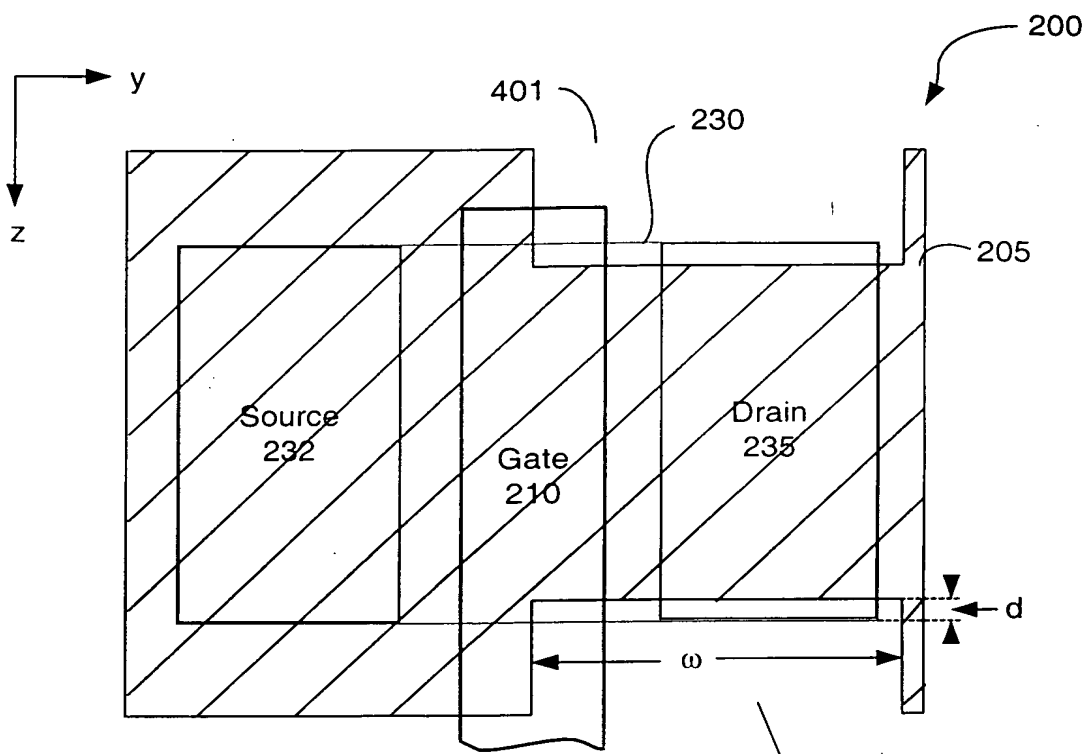


FIG. 4D 402

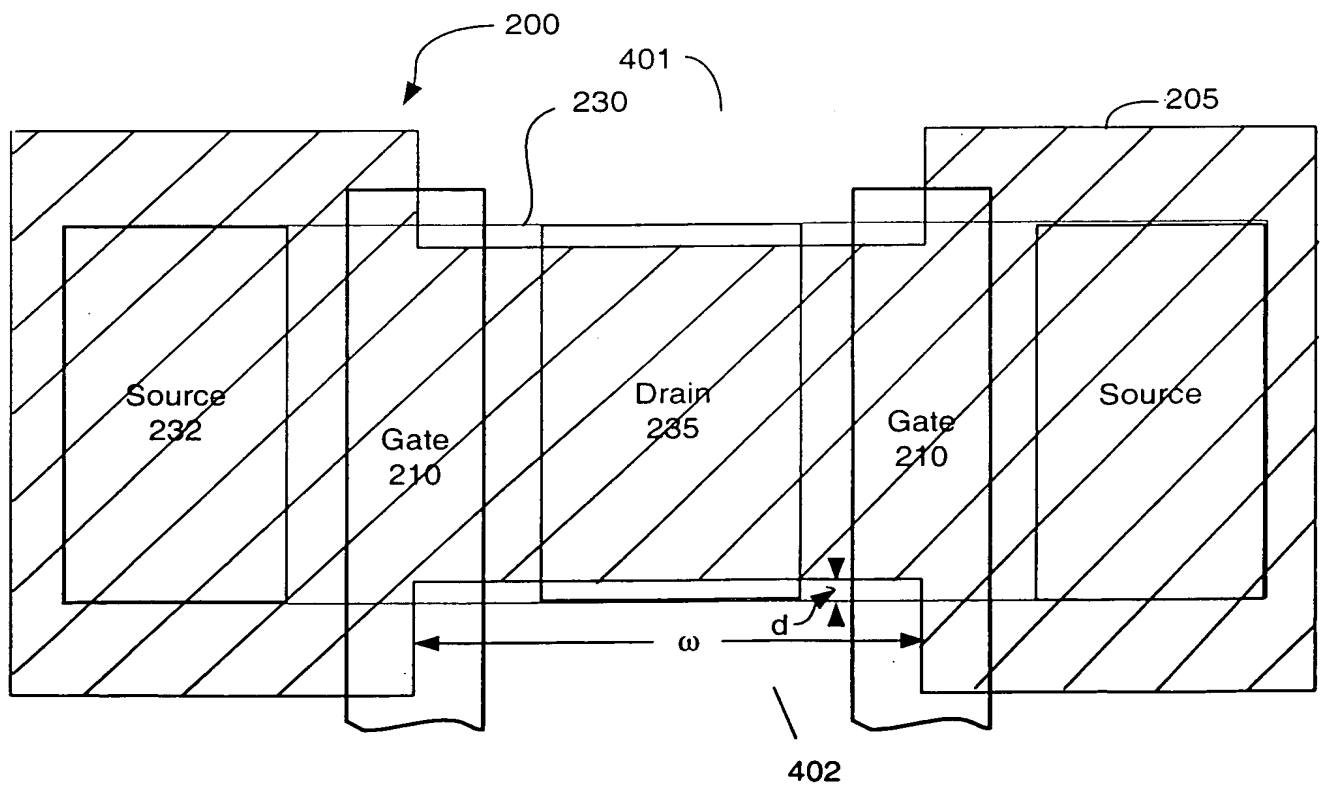


FIG. 4E

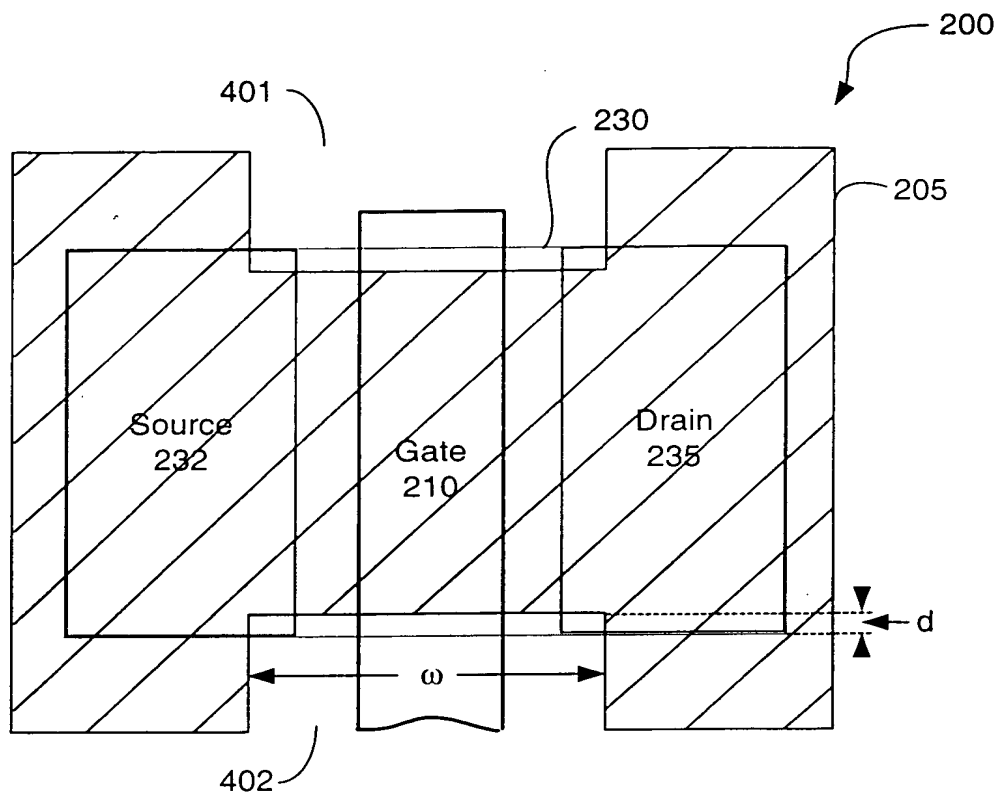


FIG. 4F

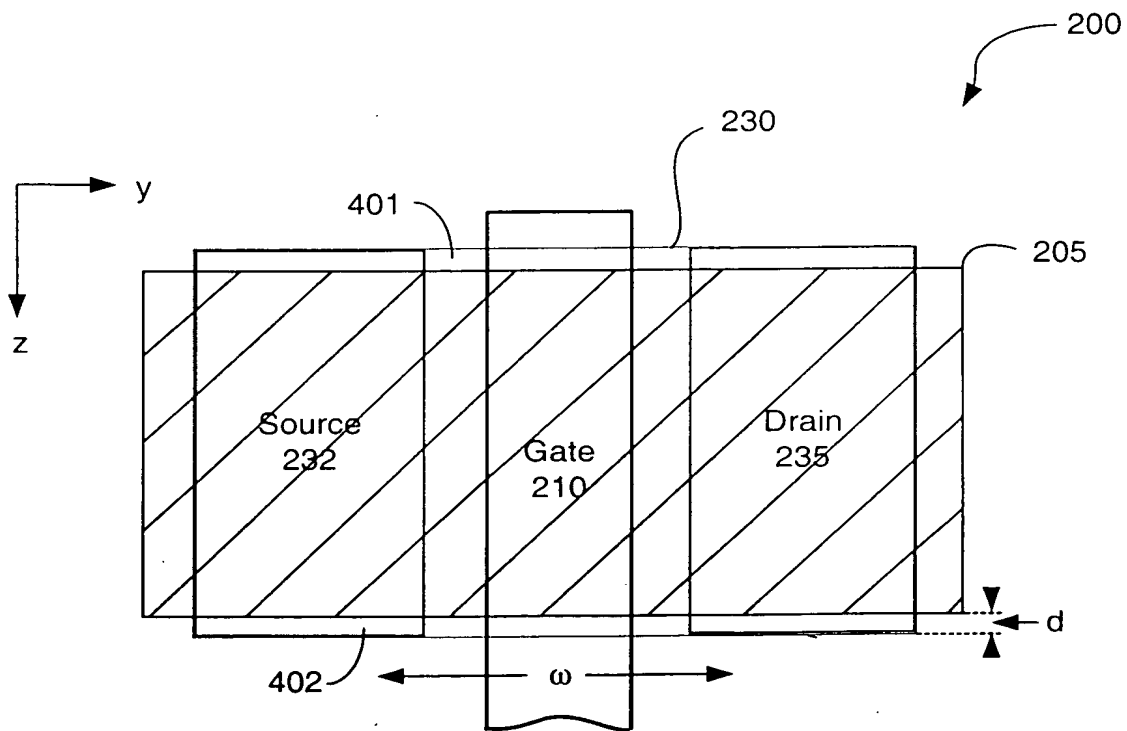


FIG. 4G

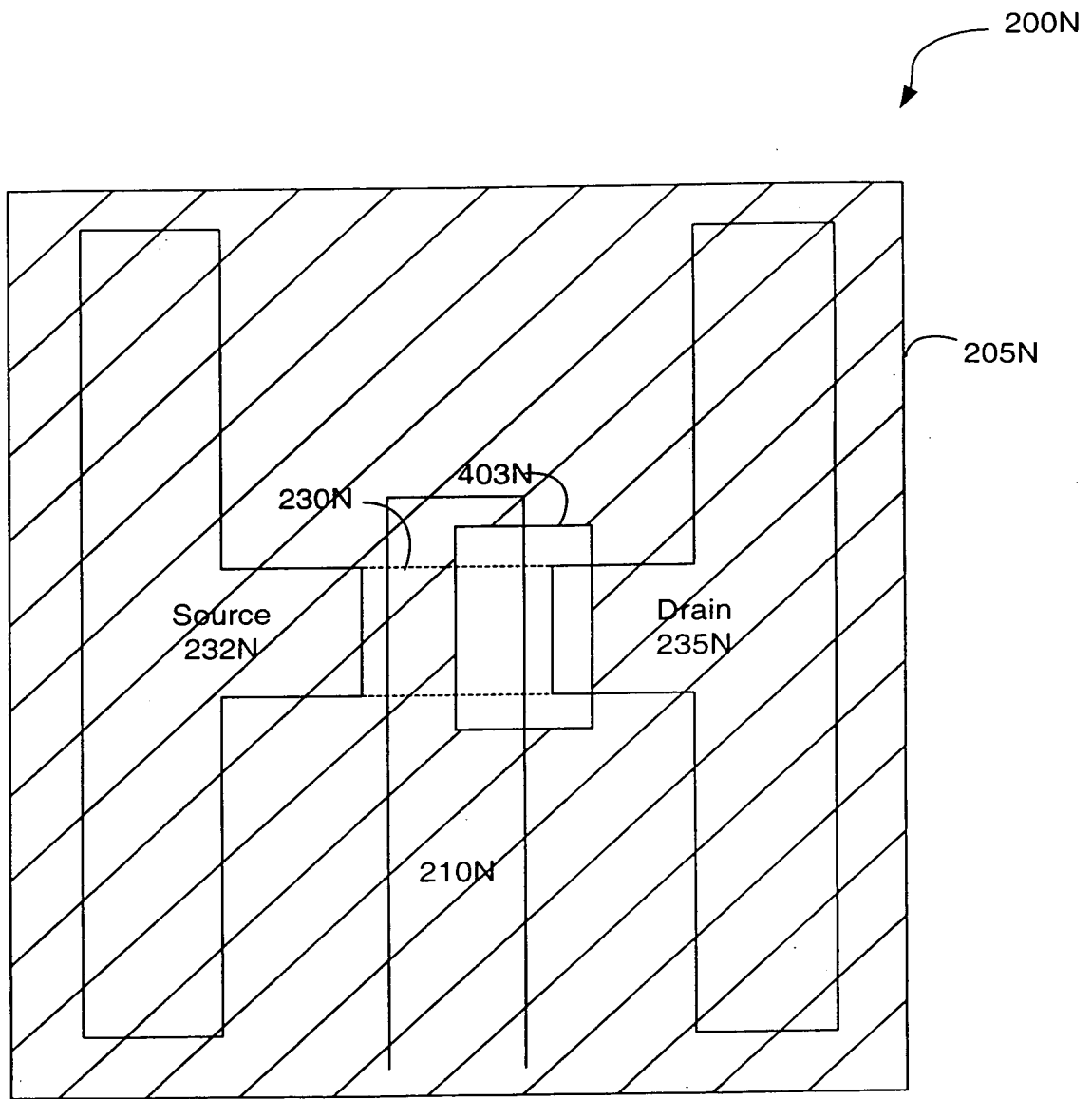


FIG. 4H

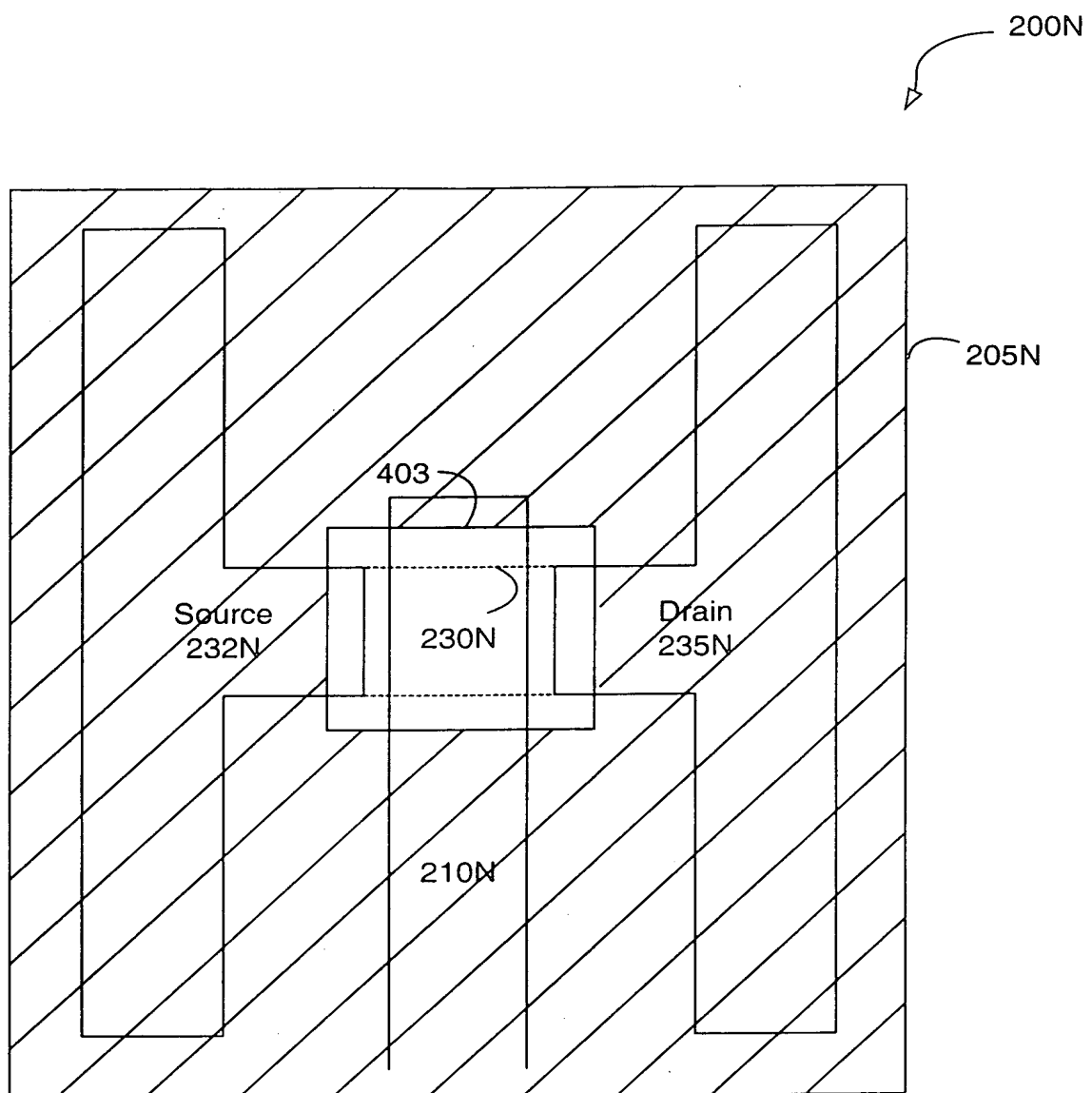


FIG. 4I

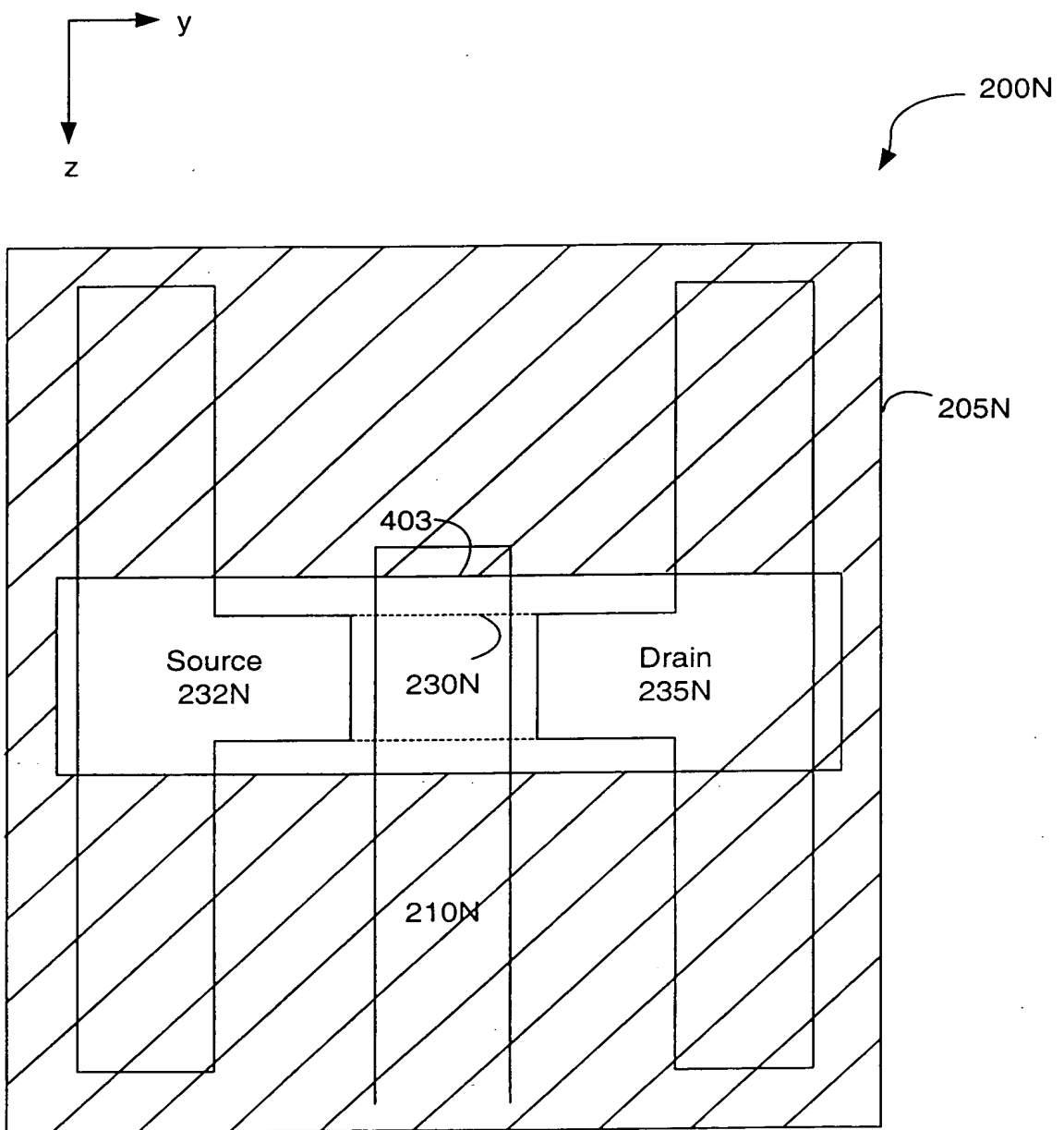


FIG. 4J

Inverse Narrow Width Effects

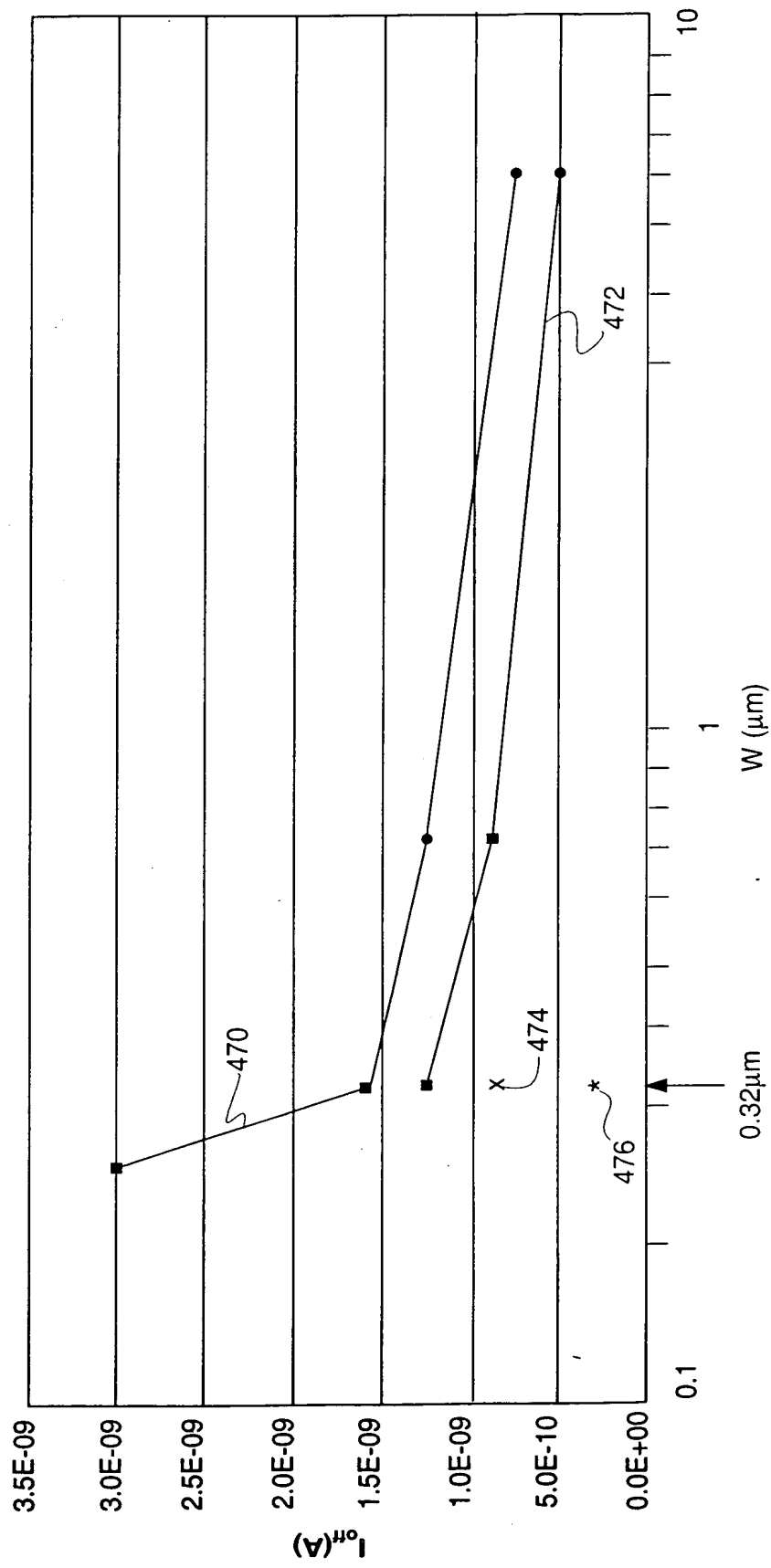


FIG. 5A

Universal Curve Comparison

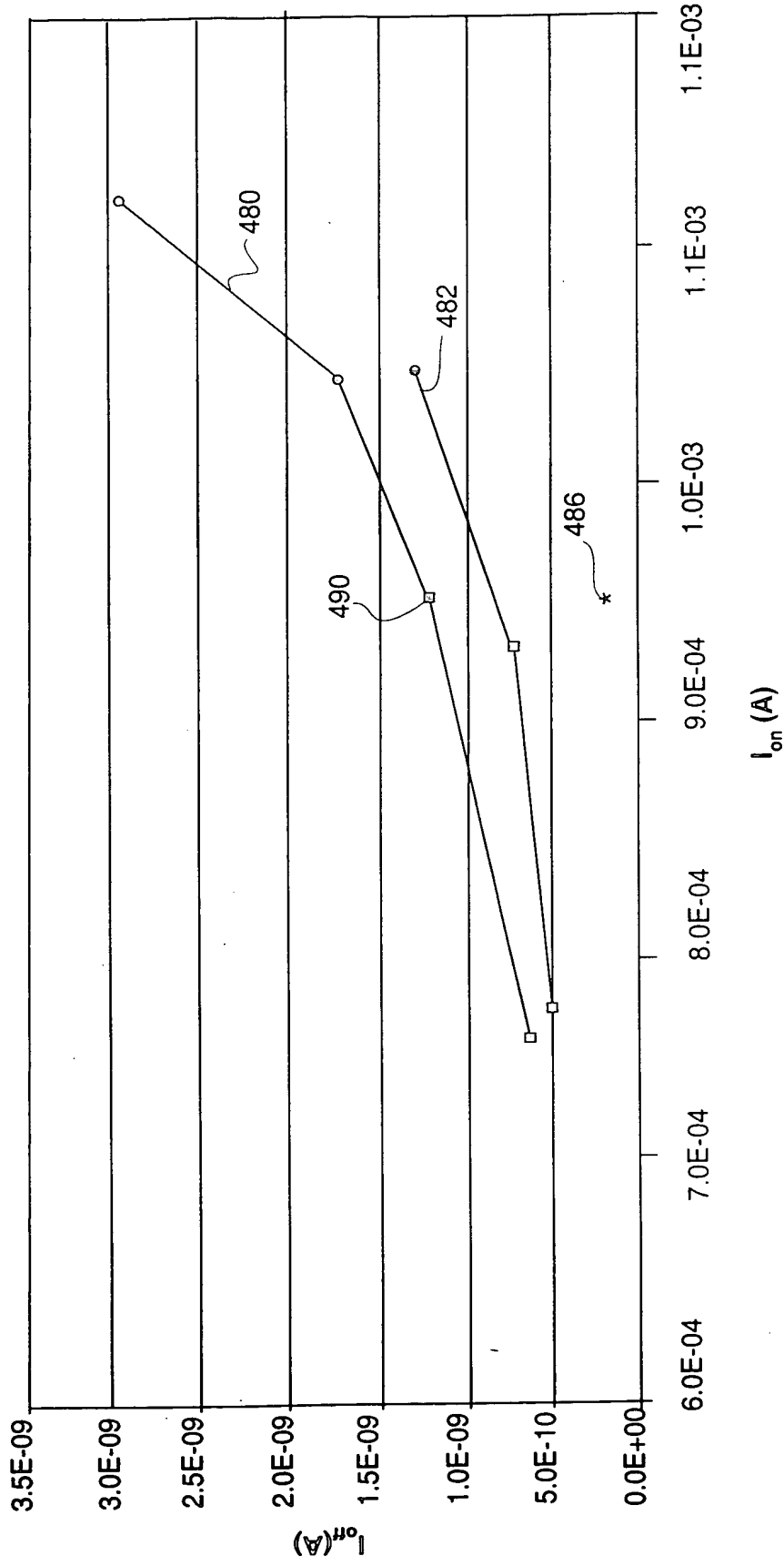


FIG. 5B

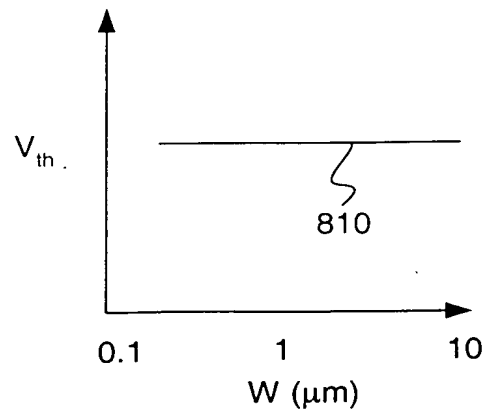


FIG. 6A

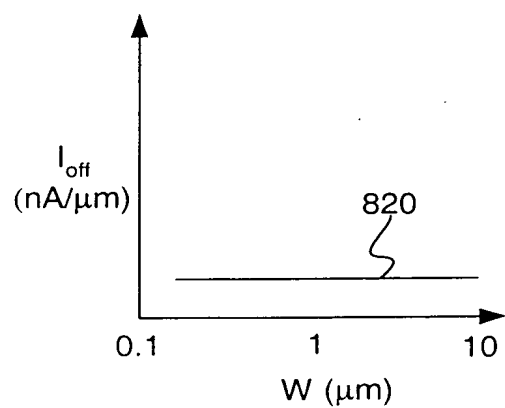


FIG. 6B

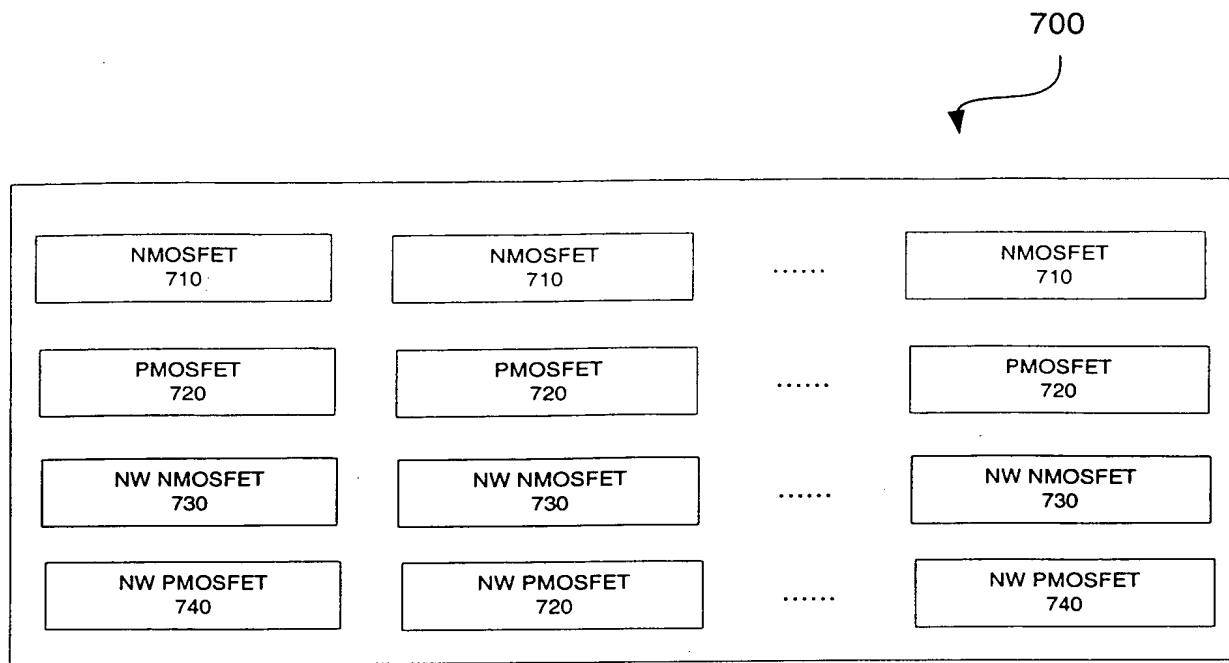


FIG. 7